

# НЕЛИНЕЙНЫЙ ЦИКЛОТРОННЫЙ РЕЗОНАНС В ВИСМУТЕ

*Г.И.Левиев, В.Б.Иконников, В.Ф.Гантмахер*

При облучении пластины висмута электромагнитной волной 3-х сантиметрового диапазона в отраженной волне на удвоенной частоте наблюдался нелинейный циклотронный резонанс.

Хорошо известный резонанс в металлах в магнитном поле, параллельном поверхности, проявляется в эксперименте как особенность в импедансе в полях  $H_n$  при которых выполняется условие:

$$n \Omega_n = \omega \quad n = 1, 2, 3 \dots \quad (1)$$

где  $\Omega_n = eH_n/mc$  – ларморовские частоты, а  $\omega$  – частота падающей на металл электромагнитной волны. Резонанс обусловлен электронами периодически возвращающимися в скин-слой и оказывающимися в фазе с высокочастотным полем.

При повышении амплитуды падающей волны линейная связь между высокочастотным полем и током нарушается, в основном, из-за магнитного поля волны, искажающего форму электронных траекторий в скин-слое. Амплитуды высших гармоник в нелинейном токе зависят от соотношения между частотой гармоники и частотой орбитального движения электронов. В частности для второй гармоники резонансные условия, аналогичные (1) имеют вид.

$$\frac{n}{2} \Omega_{n/2} = \omega \quad n = 1, 2, 3 \dots , \quad (2)$$

т.е. резонанс имеет место не только при целых, но и при полуцелых значениях индекса  $n/2$ . Теория нелинейного циклотронного резонанса была недавно развита в работе Копасова [1]. Эта работа стимулировала постановку описываемых ниже экспериментов.

Образец Bi в виде диска диаметром 18 мм и толщиной 2 мм, с осью  $C_3$  вдоль оси диска помещался на дне двухмодового цилиндрического резонатора, настроенного на частоты  $\omega$  и  $2\omega$ . Резонатор работал на моде  $E_{010}$  на частоте 9,2 ГГц и на моде  $H_{111}$  на частоте 18,4 ГГц. Магнитное поле и образец можно было независимо поворачивать в горизонтальной плоскости. Поворот образца позволял изменять вклад различных эллипсоидов в излучаемый на частоте  $2\omega$  сигнал. Связь резонатора с приемным волноводом осуществлялась через узкую щель  $S$ , так что в волновод попадал сигнал лишь от той компоненты колебаний частоты  $2\omega$  в резонаторе, токи в которой были перпендикулярны оси щели. Электромагнитная волна создавалась магнетроном, работающим в импульсном режиме, с длительностью импульса 2 и 4 мксек. Частота повторения подбиралась такой, чтобы не было среднего разогрева образца. Мощность, попадающая в резонатор, варьировалась от 1 кВт до 10 Вт, что при добротности резонатора равной 1400 соответствует амплитуде высокочастотного поля 100 мВт/см<sup>2</sup>.

кочастотного поля от 40 до 4 э. Температура в эксперименте была, как правило, 1,8 К, но резонансы хорошо видны и при 4,2 К. Излучение на удвоенной частоте принималось гетеродинным приемником с чувствительностью  $10^{-11}$  Вт. С выхода приемника сигнал подавался на импульсный вольтметр и после него на логарифмический вход двухкоординатного самописца.

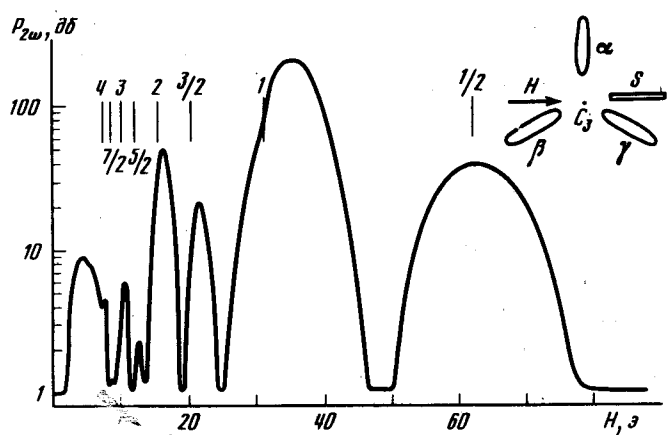


Рис. 1. Зависимость излучаемой мощности на частоте  $2\omega$  от магнитного поля. Температура 1,8 К амплитуда падающей волны 12 э. На вставке показано расположение электронных эллипсоидов относительно поля  $H$  и щели  $S$

На рис. 1 приведен пример записи изменения отраженной мощности в зависимости от величины магнитного поля  $H$ . Из указанной на вставке справа геометрии эксперимента видно, что эллипсоид вообще не участвует в формировании сигнала на частоте  $2\omega$ , а эллипсоиды  $\beta$  и  $\gamma$  расположены симметрично относительно поля  $H$ , так что резонансные поля  $H_{n/2} = 2 m \omega / e \eta$  для них совпадают. Эти поля, вычисленные по формуле (2) с использованием известного значения  $m$ , отмечены на рис. 1 вертикальными черточками. Не вызывает сомнений, что пики излучаемого сигнала обусловлены нелинейным циклотронным резонансом, хотя максимумы резонансов с индексами 1, 3/2, 2, оказались в больших полях, чем следует из условия (2). Причина этого пока не ясна. Не ясна также и природа сильного сигнала в малых полях, которого мы в данной работе касаться не будем. При повороте поля пики нелинейного циклотронного резонанса, как и следовало ожидать, расщепляются, т. е. сигналы от эллипсоидов  $\beta$  и  $\gamma$  видны раздельно.

Наиболее интересным результатом эксперимента нам представляется большая амплитуда резонанса — увеличение излучаемой мощности на два порядка. Для сравнения напомним, что изменения импеданса в линейном резонансе не превышает 1%. Кроме того несомненный экспериментальный факт — большая амплитуда резонансов с целыми индексами, т.е. резонансов в тех полях, при которых имеет место также и линейный резонанс.

Рассмотрим какими характеристиками металла определяется наблюдаемый эффект. Нелинейный ток на удвоенной частоте  $j_{2\omega}^{NL}$

$$j_{2\omega}^{NL} = \iint \hat{\sigma}_{2\omega}(r, r', r'') : E_\omega(r') E_\omega(r'') dr' dr'' \quad (3)$$

служит сторонним источником, возбуждающим колебания гармоники в резонаторе. Амплитуда поля  $E_{2\omega}$  в резонаторе пропорциональна его добротности и задается выражением

$$E_{2\omega} = \frac{Q}{2\omega} \int e_{2\omega}(r) j_{2\omega}^{NL}(r) dr, \quad (4)$$

где  $e_{2\omega}$  нормированное поле моды  $H_{111}$  в металле, а интегрирование идет по объему образца. Распределения полей  $e_\omega$  и  $e_{2\omega}$  определяются линейными характеристиками металла. Опираясь непосредственно на экспериментальный факт — малость изменения импеданса при циклот-

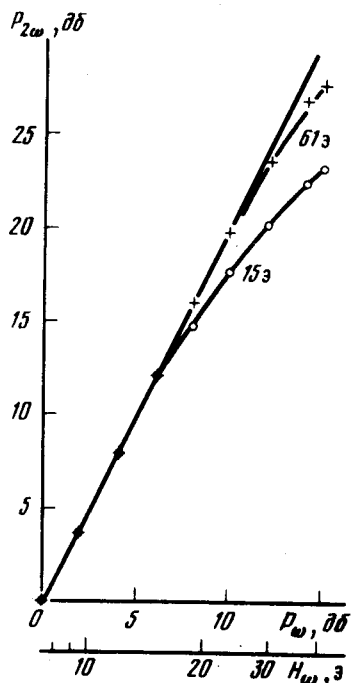


Рис.2. Зависимость излученной мощности  $P_{2\omega}$  от падающей мощности  $P_\omega$ . Прямая — квадратичная зависимость. Около экспериментальных кривых указаны значения постоянных резонансных полей  $H_{1/2}$  и  $H_2$

ронном резонансе [2] — можно пренебречь зависимостью  $e_{2\omega}$  и  $e_\omega$  от  $H$  и считать, что наблюдаемые резонансные кривые отражают зависимость от магнитного поля нелинейной проводимости  $\sigma_{2\omega}$ . Это позволяет сравнить наши экспериментальные результаты с вычислениями тензора нелинейной проводимости в [1], не обращаясь к той части статьи [1], где использована теория линейного циклотронного резонанса [3], предполагающая, что изменения линейных характеристик в резонансе велики. При таком сравнении можно говорить о хорошем согла-

ции с теорией, поскольку согласно [1], при квадратичном законе дисперсии нелинейный отклик возрастает в  $(\Omega_r)$  раз при резонансе с нецелочисленным индексом (нечетные  $n$  в (2)) и в  $(\Omega_r)^2$  раз при резонансе с целочисленным индексом (четные  $n$ ). Увеличение в 100 раз излучаемой мощности свидетельствует о 10-кратном возрастании нелинейного тока  $j_{2\omega}^{NL}$ . Это, видимо, указывает на то, что скользящие электроны вносят в  $j_{2\omega}^{NL}$  сравнительно небольшой вклад.

На рис.2 представлена зависимость мощности гармоники  $P_{2\omega}$ , излучаемой в резонансе от мощности  $P_\omega$ , падающей на образец. Видно, что квадратичная зависимость сохраняется вплоть до довольно больших значений высокочастотного поля  $H_\omega$ , что оправдывает использование теории возмущений. Отклонение от квадратичной зависимости начинается тогда, когда амплитуда  $H_\omega$  примерно сравнивается с внешним полем  $H$ .

Авторы благодарны В.А.Тулину за многочисленные дискуссии.

Институт физики твердого тела  
Академии наук СССР

Поступила в редакцию  
3 апреля 1979 г.

### Литература

- [1] А.П.Копасов. ЖЭТФ, 72, 191, 1977.
- [2] R.G.Chambers . Proc . Phys . Sos., 86, 305, 1965.
- [3] М.Я.Азбель, Э.А.Канер. ЖЭТФ, 32, 896, 1957.